БЮЛЛЕТЕНЬ № 4 ЕРЕВАНСКОЙ АСТРОНОМИЧЕСКОЙ ОБСЕРВАТОРИИ, 1941 г.

С. Некрасова и Б. Маркарян

Затменная переменная SS Camelopardalis

$$\alpha_{1900\cdot 0} = 7^h 04^m 10^s$$
; $\delta_{1900\cdot 0} = -[-73^{\circ}30'1]$.

Затменная переменная SS Сат открыта Miss Cannon в 1908 гоу по фотографическим пластинкам как переменная типа алголь. Фосометрическая кривая этой переменной и точное значение периода получены (R. J. Mc Diarmid) Мак Диармид в обсерватории Принсетон.

Кривая блеска SS Сат, как указывает Диармид (Diarmid), имеет асимметричные ветви главного минимума. Нормальные очки спускающейся ветви главного минимума идут систематически имее точек восходящей ветви кривой. Эта асимметрия, имея вполне пыраженный систематический ход, не может являться следствием лучайных или же систематических ощибок наблюдательного хавактера.

Решения, проведенные Диармид обычным методом Ресселла, не могли представить асимметрию главного минимума. В настоящей татье приведена попытка представить решение этой кривой в предсоложении различной эллипсоидальности компонентов системы, поорота больших осей относительно радиуса вектора, соединяющего ентры тяжести обоих компонентов в результате приливного трения существования некоторого угла "запаздывания" приливной волны ак следствия того же приливного трения.

Решение проведено в предположении, что угол (Θ_o) "запаздываия" приливной волны, вследствие огромной вязкости в турбулентных отоках газа в звезде, является строго постоянной величиной.

Исследование вторичного минимума у SS Сат дало смещение эпо-

$$t_2-t_1=2^h.19,$$
 откуда
$$eCos\omega=\frac{t_2-t_1-p/2}{p(1+Csc^2i)}=-0.0009.$$

іследствие небольшой глубины вторичного минимума

$$\Delta m_2 = 0^m 082$$

неуверенной кривой блеска в начале и конце затмения величиму

эксцентриситета орбиты (е) определять не удалось. Определение ментов произведено в предположения круговой орбиты.

Ректификация кривой блеска проведена по формуле, пред ляющей изменение яркости между минимумами в виде

$$\Delta m = a + C_t \cos^2(H - H_0) - d \sin H. \tag{1}$$

где 1m-яркость наблюденных точек на кривой между минимум а-нуль пункт-поправка к принятому значению яркости ме минимумами;

С₁—постоянная эллиптичности компонента в предположении наковой эллиптичности для обоих компонентов.

$$Z_u = 2C_t$$
;
 $Z = E^2 \sin^2 i$:

Е—эксцентриситет экваториального сечения компонента; но -угол "запаздывания" приливной волны, приливной пово осей:

ө-угол фазы, отсчитываемый от середины полного затмения

$$\theta = \frac{360^{\circ}}{p} t^{"};$$

d-эффект пернастра.

Для более удобного решения уравнение (1) приведено к вид

$$\Delta m = \Delta m_o + C_1 \sin 2\theta + C_2 \cos 2\theta$$
, (2)

где $\Delta m_c = a + \frac{C_s}{2}$,

 $C_1 = -\frac{C_s}{2} \sin 2\theta$,

 $C_2 = \frac{C_s}{2} \cos 2\theta$.

По формуле (2) из 56 точек вне затмения получены способ наименьших квадратов следующие значения констант:

$$a = +1.022 +0.025;$$

 $C_1 = -0.0489 +0.0072;$
 $C_2 = +0.0530 +0.0106;$
 $d = +0.0168 +0.0046;$
 $\theta = -21^{\circ}.36;$
 $C_{\ell} = 0.144.$

Посредством приведенных значений постоянных все точки кривой SS Сат были исправлены за эффект эллиптичности, за приведение наблюденных значений Δm к нуль пункту и за эффект периастра по формуле:

$$\Delta m_{rect} = \Delta m - \Delta m_o + C_t \cos^2(\theta - \theta_o) + d \sin \theta$$
.

После ректификации ветви главного минимума остались не только с разным наклоном, но и с различной глубиной:

 $1 - \lambda_1$ восходящей ветви= 0.360;

1—1, нисходящей ветви=0.400.

Ректифицированные значения нисходящей и восходящей ветвей главного минимума SS Cam и уклонения вычисленной кривой от на-

блюденной приведены в таблице 1. *Таблица I*

Нисходящая ветвь главного минимума						
Nº Nº	Фаза		Δm	Δ1	0-C	
	h	m		9.	в интенсиви.	
1	_12	11.3	+0.135	+0.117	+0.027	
2	11	26.2	.097	.085	005	
3	11	2.4	.113	.099	.000	
4	10	39.6	.114	.100	+ .010	
5	10	22.5	.095	.084	005	
6	10	3.9	.105	.092	.000	
7	9	40.6	.051	.046	— .040	
8	9	21.3	.048	.043	.030	
9	8	58.8	+ .044	+ .040	.025	
10	8	32.1	009	— .001	.053	
. 11	8	00.1	+ .007	+ .001	.022	
12	7	21.6	056	050	.023	
13	6	40.3	.069	.061	+ .029	
14	5 ¦	53.7	.169	.144	.010	
15	5	12.3	.255	.209	.000	
16	4	24.9	.336	.266	.010	
17	3	39.5	,408	.313	.000	
18	2	31.7	.383	.297	.015	
19	1	26.4	.382	.297	.015	
20	0	48.9	.399	.307	+ .005	
21	-0	17.0	-0.410	-0.314	0.000	

Восходящая ветвь главного минимума

Nº Nº	h	раза	Δm	71	О—С в интенсивн.
-	1				1
22	0	6.0	-0.417	_0.319 ·	+0.005
23	0	59.5	.389	.301	+ .021
24	+1	51.1	.426	.324	.000
25	2	26.5	.428	.326	+ .004
26	3	21.6	.405	.314	.009
27	3	57.7	.364	.285	.018
28	4	13.9	.357	.280	.015
29	4	32.7	.358	.281	+ .005
30	4	59.9	.320	.255	.000
31	5	22.7	.283	.229	.000
32	5	37.2	.290	.234	016
33	5	50.9	.276	.224	021
34	6	06.0	.216	.180	+ .005
35	6	18.0	.204	.171	006
36	6	30.2	.151	.130	+ .015
37	6	43.6	.153	.131	004
38	7	03.6	.089	.079	+ .015
39	7	31.4	.050	.045	033
40	8	21.2	006	001	.000
41	8	51.0	+ .036	+ .003	011
42	9	32.0	.046	.042	.000
43	9	57.7	.075	.067	+ .017
44	10	17.6	.031	.028	018
45	+11	14.1	+0.040	+0.036	-0.010
V23/154	111	+ 21 (D. 16)			

Эффект периастра, являясь следствием неравномерного движения компонентов в эксцентрической орбите, вызывает в кривой блеск нарушения, не симметричный относительно минимумов. Эффект этого рода зависит от положения периастра относительно луча зрения, вследствие чего он частично замывает и усложняет определяемый эффект поворота осей.

В системе SS Сат эффект периастра незначителен, но все же при решении получил вполне реальное значение. Его пришлось принять во внимание при исправлении кривой.

Угол приливного поворота осей θ_{\circ} =—21°.4 показывает, что максимальная яркость системы достигается не при θ = 90° и 270°, а при θ =68°.6 и 248.6°, то есть все точки кривой блеска смещены на этот угол в сторону восходящей ветви главного минимума.

В случае предположения различной эллипсоидальности компонентов изменения блеска вне затмения будут выражаться формулой

$$(1-Z)^{1/2} = L_b[1-Z_b\cos^2(\theta \pm \lambda)]^{1/2} + L_f[1-Z_f\cos^2(\theta \pm \lambda)]^{1/2}$$

где обозначения "b" и "f" соответствуют яркому и слабому компонентам:

L_в и L_f-яркости яркой и слабой звезды,

Zь и Z_f-эллиптичности яркого и слабого компонентов,

. $\lambda = \lambda_0 - \theta_0 - y$ глу между большими осями компонентов и линией, соединяющей их центры тяжести.

Угол à-- найдется при решении кривой блеска вместе с определением К (отношение больших полуосей компонентов).

Пользуясь при этом соотношениями

$$\left(\frac{1-\lambda_1}{1-\lambda_2}\right)^{2/5} = \frac{M_b}{M_f}$$

$$\frac{Z_b}{Z_f} = K^3 \frac{M_f}{M_b},$$

можно определить для первого приближения величины эллипсоидальностей компонентов Z_b и Z_f .

Пусть 1 - \(\lambda_1 - потеря блеска в главном минимуме. \)

1-х-потеря блеска во вторичном минимуме,

Мь и М_f-массы компонентов,

К-отношение больших полуосей компонентов.

При определении величин Z_b и Z_f для SS Сат оказалось, что эллипсондальность яркого компонента Z_b. очень мала по сравнению с Z_f:

$$Z_b=0.0082$$
; $Z_f=0.4000$.

Это дало возможность при дальнейшем решении принимать в расчет лишь эллипсоидальность слабого компонента Z_f , пренебрегая величиной Z_b .

В результате нескольких приближений, задаваясь различными углами λ – 10°, 7°, 5°, 3° и при небольшой вариации сглаженных плавных кривых нисходящей и восходящей ветвей главного минимума, отдельно было найдено методом Ресселла близкое значение К¹ для обеих ветвей при угле поворота λ=3°.

$$\lambda = \lambda_0 - \Theta_0 = 3^\circ$$
.

K1 найдено из таблиц Ресселла по формуле

$$\Psi(K\alpha_0) = \frac{\sin^2 \Theta_n - \sin^2 \Theta_{0\cdot \theta}}{\sin^2 \Theta_{0\cdot \theta} - \sin^2 \Theta_{0\cdot \theta}} \cdot \frac{\left[1 - Z_f \cos^2(\Theta_{0\cdot \theta} + \lambda)\right]}{\left[1 - Z_f \cos^2(\Theta_n + \lambda)\right]}.$$

где знак — для нисходящей ветви минимума, а знак — для восходящей ветви.

Значение K¹, найденное из кривой блеска, исправлено за эллинтвтость компонентов по формуле

$$K = K^{1} \frac{\left[1 - Z_{f} \cos^{2}(\theta + \lambda)\right]^{1/2}}{\left[1 - Z_{f} \cos^{2}(\theta + \lambda)\right]^{1/2}}$$

Результаты решения приведены в таблице II

Таблаца II

Нисходящая	ветвь
------------	-------

n	н	Ψ(K ₂₀)	$\Psi(Kz_0) \frac{F(_{0:0})}{F(_{n})}$	K¹u	Ku	Kıq	Kd
0.1	260.8	2,386	2.164	0.314	0.262	0.411	0.344
0.2	240.7	1.730	1.600	0.313	0.260	0.446	0.369
0.3	220,8	1.149	1.079	0.256	0.211	0.404	0.332
0.4	210.4	0.756	0 721	0.300	0.245	0.500	0.409
0.5	190.9	0.353	0.339	0.247	0.201	0.459	0.373
0.6	180.5	-		_	_	- 1	-
0.7	170.1	-0.333	0.326	0.254	0.204	0.480	0.386
0.8	150.5	-0.669	0.662	0.320	0.262	0 559	0.448
0.9	130.9		_	_	0,4	-	_
Среднее значение				0.287	0.235	0.466	0.380

Восходящая ветвь

n	е	$\Psi'(Ka_0)$	$\Psi(K\alpha)_0 F(n)$	Κιμ	Ku	Kıq	Kd
0.1	269.8	2.342	2.162	0.313	0.225	0.410	0.334
0.2	240.6	1.658	1.578	0.300	0.243	0.428	0.347
0.3	220.75	1.149	1.077	0.250	0.201	0.401	0.322
0.4	210.5	0.767	0.735	0.328	0.263	0.528	0.423
0.5	190.9	0.353	0.342	0.264	0.210	0.476	0.379
0.6	180.5		_		Secured		-
0.7	170.1	-0.326	0.325	0.245	0.194	0.470	0.371
0.8	150.5	0.669	0.663	0 336	0.264	0.569	0.448
0.9	130.8	- 15 -	1000	100	1 - 31	_	20 300
		Среднее за	0.290	0.233	0.469	0.375	

Далее, значения больших и малых полуосей компонентов (аь, а, bь, b) и наклон орбиты к лучу зрения і получены для нисходящей и восходящей ветвей отдельно (при гипотезах "U" и "D") согласно формулам:

$$\begin{split} & \operatorname{Sin^2}\Theta_{0\text{-}i} = A; \\ & \operatorname{Sin^2}\Theta_{0\text{-}i} - \operatorname{Sin^3}\Theta_{0\text{-}9} = B; \\ & \operatorname{Sin^2}\Theta_{n\text{-}i} = \frac{B}{4} \Psi_n(\mathsf{K}^1)(1-Z) + A \ f(^{60})}{f(^{69}) - B} \ \Psi_n(\mathsf{K}^1)Z; \\ & \operatorname{In} = 1 - Z_f \operatorname{Cos^2}(\Theta_n + \lambda) - \operatorname{для} \ \operatorname{нисходящей} \ \operatorname{ветви}; \\ & \operatorname{In} = 1 - Z_f \operatorname{Cos^2}(\Theta_n + \lambda) - \operatorname{для} \ \operatorname{восходящей} \ \operatorname{ветви}; \\ & \operatorname{A_1} + B_1 \operatorname{Sin^2}\Theta_{1\text{-}0} = f(1.0)(1 - \mathsf{K}^1_{1\text{-}0})^2; \\ & \operatorname{A_1} + B_1 \operatorname{Sin^2}\Theta_{0\text{-}0} = f(0.0)(1 + \mathsf{K}^1_{0\text{-}0})^2; \\ & \operatorname{A_1} + B_1 \operatorname{Sin^2}\Theta_{0\text{-}0} = f(0.0)(1 + \mathsf{K}^1_{0\text{-}0})^2; \\ & \operatorname{A_1} + B_1 \operatorname{Sin^2}\Theta_{0\text{-}0} = f(0.0)(1 + \mathsf{K}^1_{0\text{-}0})^2; \\ & \operatorname{A_1} + B_1 \operatorname{Sin^2}\Theta_{0\text{-}0} = f(0.0)(1 + \mathsf{K}^1_{0\text{-}0})^2; \\ & \operatorname{A_1} + B_1 \operatorname{Sin^2}\Theta_{0\text{-}0} = f(0.0)(1 + \mathsf{K}^1_{0\text{-}0})^2; \\ & \operatorname{A_1} + B_1 \operatorname{Sin^2}\Theta_{0\text{-}0} = f(0.0)(1 + \mathsf{K}^1_{0\text{-}0})^2; \\ & \operatorname{A_1} + B_1 \operatorname{Sin^2}\Theta_{0\text{-}0} = f(0.0)(1 + \mathsf{K}^1_{0\text{-}0})^2; \\ & \operatorname{A_1} + B_1 \operatorname{Sin^2}\Theta_{0\text{-}0} = f(0.0)(1 + \mathsf{K}^1_{0\text{-}0})^2; \\ & \operatorname{A_1} + B_1 \operatorname{Sin^2}\Theta_{0\text{-}0} = f(0.0)(1 + \mathsf{K}^1_{0\text{-}0})^2; \\ & \operatorname{A_1} + B_1 \operatorname{Sin^2}\Theta_{0\text{-}0} = f(0.0)(1 + \mathsf{K}^1_{0\text{-}0})^2; \\ & \operatorname{A_1} + B_1 \operatorname{Sin^2}\Theta_{0\text{-}0} = f(0.0)(1 + \mathsf{K}^1_{0\text{-}0})^2; \\ & \operatorname{A_1} + B_1 \operatorname{Sin^2}\Theta_{0\text{-}0} = f(0.0)(1 + \mathsf{K}^1_{0\text{-}0})^2; \\ & \operatorname{A_2} + B_1 \operatorname{Sin^2}\Theta_{0\text{-}0} = f(0.0)(1 + \mathsf{K}^1_{0\text{-}0})^2; \\ & \operatorname{A_1} + B_1 \operatorname{Sin^2}\Theta_{0\text{-}0} = f(0.0)(1 + \mathsf{K}^1_{0\text{-}0})^2; \\ & \operatorname{A_2} + B_1 \operatorname{Sin^2}\Theta_{0\text{-}0} = f(0.0)(1 + \mathsf{K}^1_{0\text{-}0})^2; \\ & \operatorname{A_1} + B_1 \operatorname{Sin^2}\Theta_{0\text{-}0} = f(0.0)(1 + \mathsf{K}^1_{0\text{-}0})^2; \\ & \operatorname{A_2} + B_1 \operatorname{Sin^2}\Theta_{0\text{-}0} = f(0.0)(1 + \mathsf{K}^1_{0\text{-}0})^2; \\ & \operatorname{A_1} + B_1 \operatorname{Sin^2}\Theta_{0\text{-}0} = f(0.0)(1 + \mathsf{K}^1_{0\text{-}0})^2; \\ & \operatorname{A_2} + B_1 \operatorname{A_3} + B_1 \operatorname{A_3} = B_1 \operatorname{A_3} + B_1 \operatorname{A_3} = B_1 \operatorname{$$

Углы $\theta_{1.0}$ и $\theta_{0.0}$ — суть фазы первого и второго контактов компонентов затмения.

Таблица III

	θ	Нисх. ветвь	Восх. ветвь
нпотеза	Θ ₁₋₀	110.0	100.6
Гипо	θ ₀₋₀	290.7	270.4
отеза	Θ ₁₋₀	80.2	70.7
Гипотеза "D"	θ _{0.0}	340.2	350.8

В таблице IV приведены полученные элементы SS Cam гипотез "U" (uniform) и "D" (darkened) решений для нисходящей и восходящей ветвей отдельно.

Таблица IV

	Восходя	цая ветвь	Нисходя	щая ветвь
	"U"	D*	U"	D.
${f p}$ — период обращения в орбите, выраженный в днях t_1 — эпоха главного минимума t_2 — эпоха вторичного минимума есоѕ ${f \omega}$. 4 <i>d</i> .85 J. D. 242 p/ ₂ — —0.0	20842.594 2 4.19	
а₀—максимальная фаза затмения в главном минимуме 1—λ₁—потеря света в главном ми-	1.00	1.00	1.00	1.00
нимуме	0.	360	0.4	100
1— λ_2 —потеря света во вторичном минимуме	0.053	0.084	0.050	0.084
К — отношение радиусов компо- нентов К¹ — отношение радиусов компо-	0.290	0.469	0.287	0.466
нентов (без учета эллиптично-	0.233	0.375	0.235	0.380
і—наклонность орбиты к лучу зре- ния	800,13	819.53	790.31	810.87
аь—большая полуось яркой звез- ды а-большая полуось слабой звез-	0.460	0.437	0.477	0.425
ды	0.107	0.164	0.112	0.162
b _в —малая полуось яркой звезды	0.353	0.377	0.365	0.367
b -малая полуось слабой звезды	0.106	0.163	0.111	0.161
L _в —яркость яркой звезды	0.640	0.600	0.600	0.580
L _f —яркость слабой звезды	0.360	0.400	0.400	0.420
Z ₆ —эллиптичность яркой эвезды	0.01	0.01	0.01	0.01
2 _f —эллиптичность слабой звезды	0.40	0.25	0.40	0.25
SP _b	G1			
SPf	F 5	199-110		1000

Коэфициент потемнения к краю также определялся для каждой ветви главного минимума отдельно.

Вычисления произведены в первом приближении с интерполированными значениями элементов для гипотез:

Коэфициент потемнения к краю, вычисленный по методу Крат получился равным x=0.56, откуда степень потемнения равна

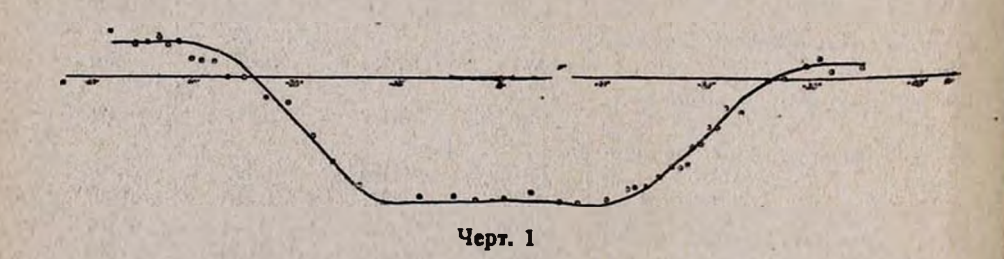
$$x^1 = \frac{x}{1+x} = 0.36 \pm 0.09.$$

С полученным коэфициентом потемнения к краю выведены следующие элементы орбиты для SS Cam:

Таблица V

450	Нисход. Восход ветвь ветвь		
K1	0.351	0.354	
K	0.287	0.284	
Lo	0.626	0.593 0.407	
i	800.2	800.6	
25	0.458	0.452 0.128	
x'	0.36±0.09		

Эти элементы дают наилучшее представление наблюденной кривой блеска SS Сат. Отклонения наблюденных нормальных точек от теоретической кривой (О—С) помещены в таблице 1 (чертеж 1).



Литература

1. Miss Cannon Harv. Circ. 140, 1908.

2. R. J. Mc Diarmid Contr. Princ. Univ. Obs. 7, 1924.

3. В. А. Крат. Астроном. журнал СССР XIII, 9, 1936.

4. В. А. Крат. Циркуляр Глав. Аст. Обс. № 26-27, 1939.

5. В. А. Крат. Цпркуляр Глав. Аст. Обс. № 28, 1940.

ON THE ECLIPSING VARIABLE SS CAM

by S. Nekrassova and B. Markarian

Summary

The variable SS Cam has a fairly accurate photometric light-curve obtained by R. J. Mc Diarmid (Contr. Princeton Univ. Obs. No 7, 1924) with a polarizing photometer. The light-curve of this variable is remarkable for the asymmetrical branches of the primary minimum, where the ascending branch when "reflected" (about $\Theta=0^{\circ}$) does not coincide with the descending branch. This circumstance handicaps the determination of the elements of the system in the usual way.

The present paper deals with an attempt to apply to this curve the method of solving the systems with different ellipticities of components as recently proposed by Krat (Poulk. Circ № 26—27, 1939).

In this case it is assumed that the asymmetry of the light-curve and the different ellipticities of the components $(Z_f \text{ and } Z_b)$ are due to the perturbing tidal effect. Since the period of axial rotation of components does not coincide with that of their revolution in the orbit, the tidal friction causes the deviation of the major axes from the line joining their centres of gravity. This deviation will be manifested in the asymmetry of the primary minimum in the observed light-curve.

The authors determined the elements for both branches of the minima SS Cam light-curve by the modified method of Russell from the "D" and "U" solutions (Table IV). The coefficient of limb darkening has been determined as well separately for each branch of the primary minimum (Table V).

Erevan, August, 1940.

